

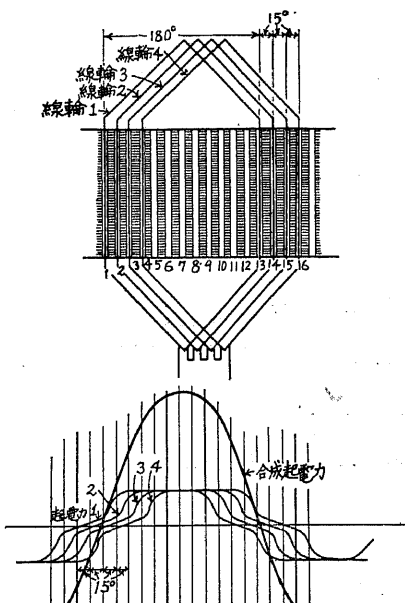
## 第六章 交流發電機及交流電動機

### 第一節 交流發電機

#### § 62 交流發電機の原理と種類

§ 51 に述べた直流發電機に於て發電子に誘起される電壓を整流子を経ないで直接外部に傳へる方法をとれば、或る導體が  $N$  極の下を通過する場合と  $S$  極の下を通る場合で電壓の方向が異り、交流が得られる。これが交流發電機の原理であつて、整流子のない事が直流發電機と著しく異なる點である。<sup>\*</sup> 實際の交流發電機では電壓が成るべく正弦波に近いことが必要であるから捲線の配置、磁極空隙に於ける磁束分布等に色々の工夫を施してある。第 73 圖はその一例であつて第 45 圖の如き梯形電壓波を誘導する幾つかの捲線素子を一定角度を離して並べ、其等を直列に結べば大略正弦波に近き電壓波を得られることが判るであらう。

電磁的に起電力を發生するには發電子導體を動かし界磁を固定しても、界磁を動し發電子導體を固定しても結果は同じであるから、交流發電機には迴



第 73 圖

\* 整流子は直流機械中の最も製作の困難な部分であつて、これを持たない交流發電機の價格はこれと同容量の直流發電機に比して餘程低廉となる。又大容量機の製作も交流の方が遙かに容易である。

轉發電子型 (Revolving Armature Type) と迴轉界磁型 (Revolving Field Type) との二種あるが、交流發電機は大容量、高電壓の者が多く、從つて絕縁其他構造上の關係から發電子を固定させる方が有利であるから大部分は迴轉界磁型である。それ故本書に於ては此の型のみに就て述べることにする。

通常用ひらるる發電機の相數は送電方式及び一般動力用電動機として三相式が優れて居る事などの理由から殆んど全部三相である。  
\*\*

周波數は電灯の明暗が眼に感する局限が約 40 サイクルであるから 50 又は 60 サイクルが標準となつて居る。

迴轉數より分ければ次表の如く三種類に分れて居る。

種 別	毎分迴轉數	極 數		原 動 機
		50 サイクル	60 サイクル	
低速度	80--200	74--30	90--36	熱 機 關
中速度	200--800	30--8	36--10	高速機關及水車
高速機	1000--3000	6--2	6--2	蒸 汽 タ ー ピ ン

### § 63 構造の概要

迴轉界磁型交流機に於て、固定せる部分（發電子）を固定子（Stator）、迴轉部分（界磁）を迴轉子（Rotor）といふ。迴轉子の磁極數  $P$  は直流機の場合と異り、原動機の毎分迴轉數  $n$  及周波數  $f$  と一定の關係を有して居る。即ち

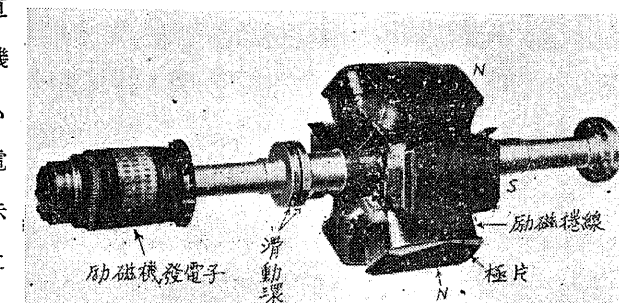
$$f = \frac{Pn}{2 \times 60}$$

迴轉子の構造は第 74 圖に示す如くであつて、勵磁用直流は軸から絶縁された二個の滑動環（Slip Ring）を経て刷子から勵磁捲線に供給される。此の勵磁電流

\* この二種の外に誘導型 (Inductor Type) とて發電子、界磁を共に固定し置き、兩者の間の磁氣抵抗を變化する方式があるが特殊のものであるから省略する。

\*\* 環西に於ては國有鐵道迴轉用動力として單相發電機を使用して居る。

を供給する爲の直  
流發電機を勵磁機  
(Exciter) と云ひ、  
分捲又は複捲發電  
機を用ひ同圖に示  
す様に迴轉子軸に  
直結されることが  
ある。



第 74 圖

發電子は第 75 圖に示す如く杵  
組に取付けられた成層鐵心に捲線  
を施したものであつて、直流機と  
同様に通風孔が設けてある。捲線  
は電壓の高い關係から凡て型捲線  
輪を用ひ、三相捲線は星形又は三  
角形に接続される。

### § 64 交流發電機の性質

#### 1 無負荷誘導起電力

無負荷に於ける交流發電機の電  
壓は發電子導體數  $Z$  及其の配置、

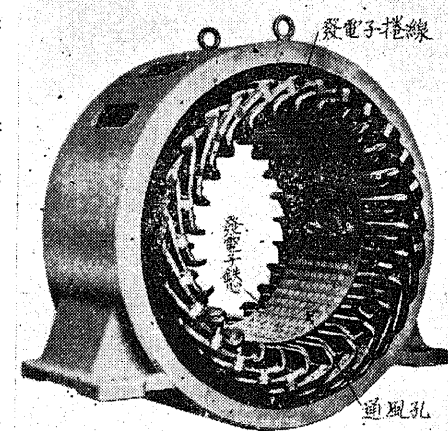
周波數  $f$ 、每極有效磁束數  $\Phi$  に依つて定り、次式にて表はされる。

$$E' = MfZ\Phi \text{ ボルト}$$

但し  $M$  は定數であつて捲線方法に依つて異なる。而して出來上つた發電機に對し  
ては  $M$ 、 $f$ 、 $Z$  は一定であるから  $E'$  は  $\Phi$  に比例する。

#### □ 發電子抵抗及リアクタンスによる電壓降下

發電機に負荷をかけば直流發電機の場合と同じく發電子抵抗に依る電壓降下



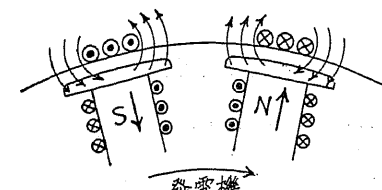
第 75 圖

が生ずるから、端子電圧はそれだけ低くなる。尙又交流發電機に於ては發電子捲線の自己誘導に依るリアクタンス  $2\pi fL$  があるから、端子電圧はこれに依つても影響を受ける。交流機に於ては抵抗よりもリアクタンスの方が値が大で兩者による電圧降下の間には  $90^\circ$  の位相の差がある。

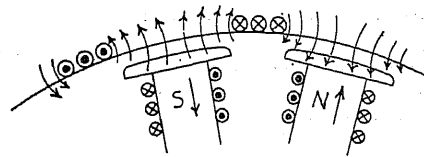
#### ハ 發電子反作用

交流發電機に負荷をかけると負荷電流の起磁力に依つて發電子反作用が生ずることは直流發電機の場合と同様であるが、交流の場合は負荷の力率に依つて反作用が異なる。第76圖は負荷の力率が1の場合の發電子及界磁による磁束の分布を示し、發電子電流は起電力と位相が等しいから、反作用は主磁極の前端（迴轉方向に對し）を弱め、後端を強めて界磁による磁束分布を歪める。次に電流が

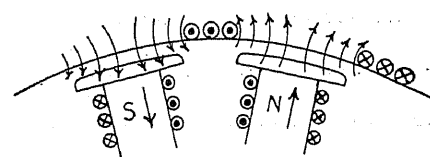
電圧より  $90^\circ$  遅れた場合には第77圖の如くになり、その發電子反作用は主磁束を打ち消す様に働き、電流が電圧より  $90^\circ$  進んで居る場合には反作用は第78圖に示す如く主極の勵磁を助ける様に働く。而して通常の負荷は大抵感電流であるから抵抗及リアクタンス以外に負荷電流の減磁作用に依つても電圧降下を一層助長するのである。



第 76 圖



第 77 圖



第 78 圖

\* 極間隔は電氣的には  $\pi$  即ち  $180^\circ$  であるから  $90^\circ$  遅れる場合は極間隔の  $1/2$  だけ左方に移る。

#### ニ 發電機特性曲線

發電機が無負荷で規定速度の運轉をして居る場合に、勵磁電流の變化に對する端子電圧の變化を示せば第79圖 A の様になる。これを無負荷特性曲線と云ふ。

次に發電機に或る力率の負荷を加へ規

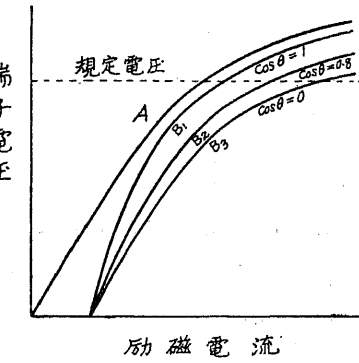
定速度にて運轉した場合、勵磁電流の

變化に對する端子電圧の變化を示した

ものを負荷特性曲線と云ひ、第79圖

$B_1, B_2, B_3$  等は夫々力率 100%, 80%

及零の全負荷特性曲線を示す。



第 79 圖

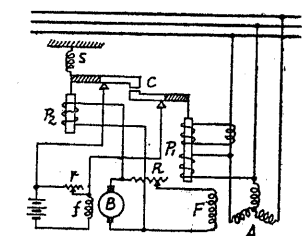
#### ホ 電壓變動率

交流發電機の場合の電壓變動率とは規

定周波數、規定力率、規定電圧の下に全負荷電流を出して居る時の勵磁電流を其の儘とし無負荷とした時の電圧の變化を規定電圧の百分率にて表したものである。

#### ヘ 交流發電機の電壓調整

前述の如く、交流發電機は一定の勵磁電流に於ては發電機の出力及力率に依つて端子電圧が變化するから電圧を一定に保つためには勵磁電流を加減しなければならぬ。この目的に最も廣く使用されるのはチリル調整器(Tirril Regulator)であつて、是は發電機端子電圧が變化した場合自動的に勵磁機の勵磁電流從つて勵磁機電圧を加減し、發電機電圧を規定値に保つもので、尙送電線の受電端電圧を一定に保つ爲に負荷に應じて線路電圧降下だけ發電機電圧を高める様にすることも出来る。第80圖はチリル調整器の原理を示す接続圖である。



第 80 圖

\* この場合の全負荷とは電流が規定値になつて居る意味であつて、力率零の場合には出力は勿論零である。

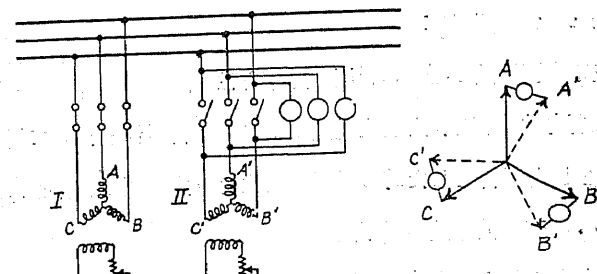
## ト 交流發電機の並列運轉

電力の需要に適應して同一回路に二臺以上の發電機を並列に結んで運轉することと並列運轉(Parallel Running)といふ。直流發電機の場合には負荷特性及電圧が等しければ並列運轉が出来るが、交流發電機に於ては負荷特性及電圧を等しくした上に更に周波數及位相を完全に合はさなければならぬ。斯様な操作を同期化(Synchronize)するといひ、同期化するには先づ並列に運轉すべき兩發電機回路の相廻轉方向を一致させ、次に原動機の速度を加減して兩發電機の周波數を等しくし、最後に電圧及位相を合せて兩發電機を並列に結ぶのである。同期化を検知する装置を同期検定器(Synchronism Indicator)といひ、最も簡単なものは第81圖の如く相當せる各線間に白熱電球を結ぶ方法であつて、周波數及位相が一致すれば電燈は消え、位相の差が大きくなるほど電球は光を増す。この方法では正確に同期化を知る事は困難であるから、

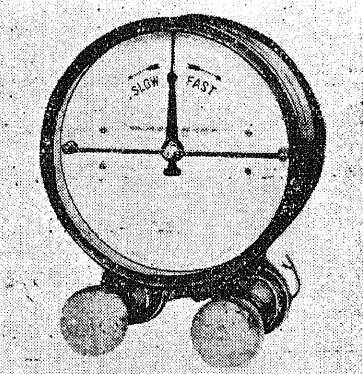
第82圖の如き指針を有する同期検定器を使用する。

## § 65 交流發電機の能率及重量

水車直結交流發電機の能率及重量の概数は第7表及第8表に示す通りである。(60サイクル機の實例)



第 81 圖



第 82 圖

第7表 橫型交流發電機

容 量 kVA	每 分 廻 轉 數	極 數	能 率 (%)		重 量 (t)	
			100%負荷	50%負荷	廻轉子及軸	總 重 量
1,000	360	20	95.2	93.7	3,300	8,200
2,500	277	26	95.7	93.3	10,000	25,200
5,000	300	24	96.5	94.9	22,000	49,000
10,000	171	42	97.0	95.3	34,000	82,000
15,000	120	60	96.9	95.2	72,000	159,500
22,500	100	72	97.0	95.6	105,000	211,500
40,000	138	52	97.4	95.7	185,000	327,500

第8表 橫型交流發電機

容 量 kVA	每 分 廻 轉 數	極 數	能 率 (%)		重 量 (t)	
			100%負荷	50%負荷	廻轉子及軸	總 重 量
1,000	360	20	94.4	92.1	3,400	8,200
2,000	200	36	94.8	92.4	7,900	19,000
5,000	150	48	95.7	93.4	20,500	43,300
10,000	150	48	96.0	93.8	31,500	86,300
20,000	360	20	96.6	94.4	40,000	114,000

## 第二節 同期電動機

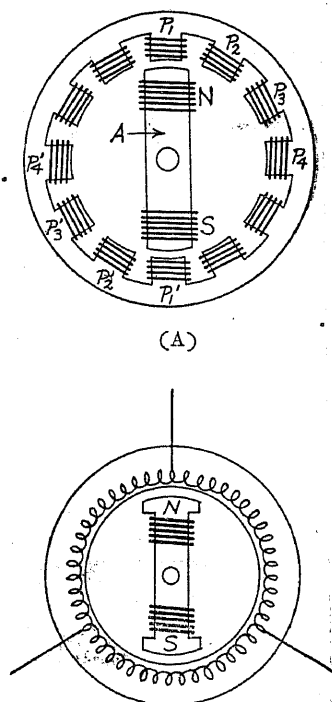
## § 66 同期電動機の原理

二臺の交流發電機が並列に運轉中、一方の發電機を其の原動機から離しても、言ひ換へばその原動機の出力を零としても廻轉を續け、發電機が電動機に變化したことを見る。而して其の廻轉力發生の原理は次の様である。

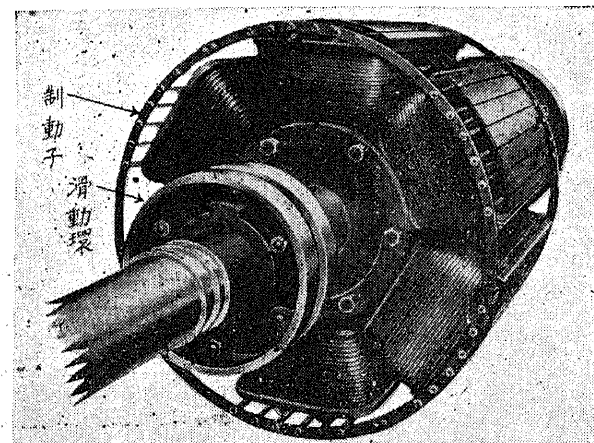
第38圖(A)に於て  $P_1P'_1$ ,  $P_2P'_2$ ,  $P_3P'_3$  等は固定鐵心に捲かれた線輪で、 $P_1P'_1$ ,  $P_2P'_2$  の順に一つづつ励磁されるものとし、A は直流にて励磁され紙面に垂直

な軸のまわりに廻轉し得る電磁石とする。今圖の位置に於て  $P_1P'_1$  を  $A$  と反対の極性をもつ様に勵磁すれば、 $A$  の兩極と  $P_1$  及  $P'_1$  との間に吸引力がはたらくが、上下兩方の力が平衡するから別に運動は起らない。次に  $P_1P'_1$  の勵磁を止めて  $P_2P'_2$  を同様に勵磁すれば  $P_2$  及  $P'_2$  と  $N$  及び  $S$  との間の吸引力により  $A$  は時計方向に廻轉し  $P_2P'_2$  の下に來ると廻轉運動は止る。同様にして  $P_3P'_3$ 、 $P_4P'_4$  等を一つ宛順次に勵磁して行けば  $A$  はそれに従つて廻轉する。固定子の線輪を切り換へる代りに第83圖(B)の如く三相捲線を施し三相交流を送れば電流及之に依つて生ずる磁場は相廻轉の方向に廻るから、 $A$  はこれに引づられて相廻轉の方向に同一速度で廻轉する。こ

れが同期電動機の原理であつて、相廻轉の速度を同期速度(Synchronous Speed)といふ。電動機軸に機械的負荷がない場合には廻轉子の中心線は固定子廻轉磁場の中心線と一致して同期速度にて廻



第 83 圖 (B)



第 84 圖

り、荷が増すに従つて回転子磁極中心は固定子磁極中心より遅れた位置にて矢張同期速度にて回転する。

同期電動機の構造は交流発電機と殆んど同一であつて、固定子には普通三相捲線を施し、廻轉子には直流勵磁機にて勵磁される磁極がある。唯一の相異は廻轉子表面に第 84 圖に示す様な制動子 (Damper) <sup>\*</sup> と稱する籠形捲線を施してあることで、これは起動の際に誘導電動機として起動せしめて同期速度近くまで廻轉子を加速せしむる爲め、及び同期速度運轉中は負荷急變の際に生ずる亂調といふ廻轉の不整を防止する爲めである。

## § 67 同期電動機の特性

1 速 度

電動機の極数を  $P$ 、周波数を  $f$ 、毎分回転数を  $n$  とすれば同期電動機には次の関係がある。

## 口 無負荷特性曲線

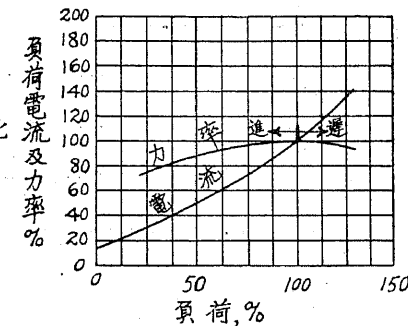
同期電動機を交流發電機と同様に定格速度にて他から廻轉し、勵磁電流と無負荷端子電壓との關係を求めたものである。

## 八 負荷特性曲線

同期電動機の勵磁電流を一定に保ち、出力が變化した場合の入電流及力率の變化を示す曲線で、第 85 圖は全負荷に於て力率が 1 となる様に勵磁電流を定めた場合の負荷特性曲線の一例である。

## 二 位相特性曲線又は $V$ 曲線

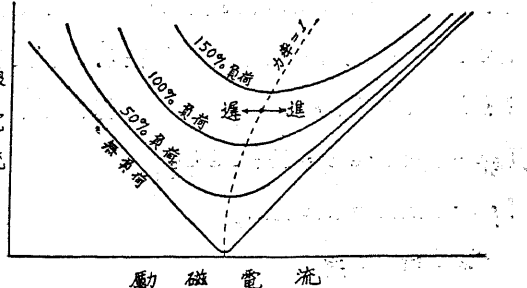
同期電動機の出力は軸に加はる機械的



八集 85 圖

\* § 70 參照

負荷に依つて定り、勵磁電流には無関係である。今電動機に任意の負荷をかけた儘にて勵磁電流を變化すれば、或る勵磁電流にて入電流は最小となつて力率は 1 となり、それより其の値を變へるに従ひ入電流は増加し力率は悪くなる。而して勵磁電流を下げる場合には遅電流、上げた場合には進電流となる。第 86 圖は種々の負荷に対する上述の変化を示したものであつてこれを位相特性曲線(Phase Characteristic Curve) 又は V 曲線(V Curve)といひ、此の性質は同期電動機の著しき特徴である。



第 86 圖

#### 木 起動回転力

同期電動機は原理の説明から判る通り一度同期化した後は回転磁場と界磁との吸引力にて全負荷より大なる回転力を出し得るが、起動回転力は比較的弱く特にこれが大きくなる様に設計されたものでも全負荷回転力の 30 ~ 40 % 以下でないと自ら起動する事は出来ない。

#### § 68 同期電動機の起動法

一般に使用される同期電動機の起動方法には次に述べる様な種類がある。

##### イ 制動子に依り誘導電動機として起動する方法

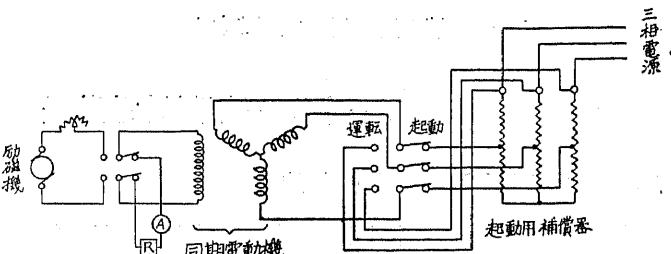
§ 70 に述べる籠型誘導電動機の原理を利用して起動する方法で電機子に流れる起動電流の過大となる事を防ぐ爲に起動補償器(Starting Compensator)を用ひて端子電圧を 50 % 以下に下げて起動せしめ、回転子が相當加速した後に勵磁電流を流して回転子を同期速度に依次いで端子電圧を全電圧に切り替えるのである。

一般に起動の際に回転磁界に因つて界磁捲線に高電圧を誘発するから界磁捲線を幾つかに分割するか又は第 87 圖に示す如く抵抗を通じて短絡し、勵磁捲線の

#### 絶縁破壊を豫防

する。

##### 口 起動用電動機を使用する方法



第 87 圖

十分なる小電動機を直結し、これに依つて同期速度まで加速せしめて、交流發電機の並列運轉と同一方法にて同期化せしめる。直流電源のある場合には勵磁機を起動用電動機として使用することもあるが普通は捲線型三相誘導電動機を使用する。

#### △ 軽負荷にて起動する方法

電動機を軽負荷にて起動せしめ、同期化したる後に負荷を増す方法である。

#### § 69 同期電動機の利害及應用

同期電動機の利點は絶對的に不變速度なること、力率を任意に制御し得ること及び能率が高いこと等であるが、一方起動回転力の小なること、亂調を起し易きこと、勵磁機を要すること及び取扱が幾分か複雑なること等の缺點もあるから電動機としては用途が比較的に狭いが、電動發電機等の如く起動回転力を要すること少く、運轉能率高く、力率の良きことを欲する場合には常用されてゐる。

特に負荷回路の力率改善、送電電壓の制御等を目的として使用される同期電動機は同期進相機(Synchronous Condenser)と稱し無負荷に於ける V 曲線を利用する

\* 負荷には誘導電動機多く、これは通常力率が低いから回路全體として力率を低下せしめる。然るに同期進相機の界磁を過勵磁せしむれば進電流を取るから力率改善の目的を達し得る。

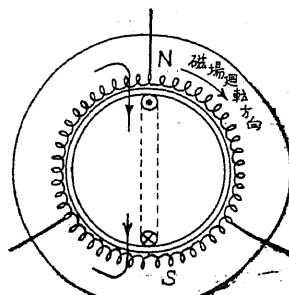
\*\* 送電線にはリアクタンスがある。これを通して進電流を同期進相機に取れば電壓を上げ、過電流を取れば電壓を下げる。故に此の兩者を適當に行へば受電端の電壓を負荷に拘らず一定に保つことが出来る。

ものであつて、受電端の變電所に設置される。

### 第三節 三相誘導電動機

#### § 70 三相誘導電動機の原理及構造

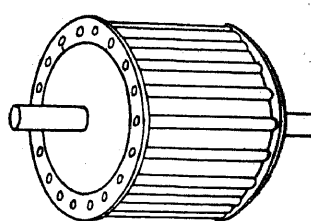
第 83 圖 (B) に示した様な三相捲線を有する固定子内に一捲回の短絡線輪を捲きたる圓筒形鐵心を第 88 圖の如く配置し、三相電流を捲線に流せば相迴轉方向に迴轉磁場を生ずる。今其の迴轉方向を右迴りとすれば、磁場の方向が矢に示す如き瞬間ににはフレミングの右手の法則に従つて圖に示す様な方向の電圧從つて電流を短絡線輪内に発生する。この電流と迴轉磁場との電磁力に依つてフレミングの左手の法則に従ひ短絡線輪は時計方向の迴轉力を受けて迴り出すのである。これが誘導電動機の原理



第 88 圖

であつて、固定子捲線の端子三本の中任意の二本をつなぎ變へ相迴轉方向を逆にすれば、磁場從つて迴轉子の迴轉は反対になる。而して迴轉力を大とする爲には迴轉磁場を強くする事及短絡線輪の電流をなるべく大とすることが必要である。

誘導電動機固定子の構造は三相交流發電機の發電子と同様に三相捲線を成層鐵心上に施したもので、極數は二極、四極、六極等偶數とする。迴轉子は成層鐵板を重ね合せ、周邊に溝を有し、導體の配置に依つて籠型及捲線型に區別される。前者は溝に納めた導體を第 89 圖に示す様に兩端にて端絡環に依つて短絡し、籠型と爲したものであつて、後者は通常星形に結びたる捲線を施し、各相の端子を三個の滑動環を経て外部に導くものである。固定子

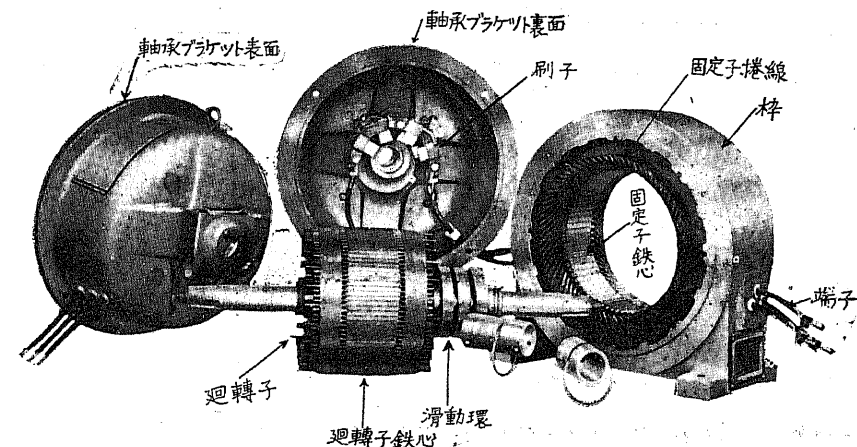


第 89 圖

と迴轉子間の空隙は特に小にし通常 30 馬力以下では 0.5 無程度となつて居る。

#### 第三節 三相誘導電動機

第 90 圖は芝浦製作所製捲線型誘導電動機（全閉型）の分解したものを示す。



第 90 圖

#### § 71 三相誘導電動機の特性

##### 1 回轉數及滑

固定子捲線の磁極數を  $P$ 、電源周波數を  $f$ 、毎分の同期迴轉數を  $n_0$  とすれば同期電動機の場合と等しく

$$n_0 = \frac{2f \times 60}{P} \quad \text{(1)}$$

である 然るに誘導電動機に於ては迴轉子導體に電流を生ずる爲には迴轉子は同期速度より低い速度にて迴らなければならぬ。この速度を毎分  $n$  回轉とすれば

$$s = \frac{n_0 - n}{n_0} \quad \text{(2)}$$

$$n = n_0 (1 - s) \quad \text{(3)}$$

$s$  を誘導電動機の滑(Slip) といひ通常百分率で表す。

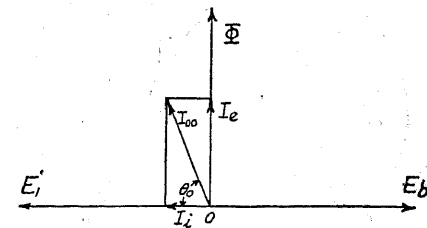
(2) の式にて  $n = n_0$  の場合は  $s = 0$  で、 $n = 0$  の場合には  $s = 1$  である。即ち迴轉子の速度が同期速度の場合には滑は零であつて、靜止して居る時には滑は 1 である。全負荷の場合の滑は電動機の容量に依つて異り、通常

2~5% の間にある。

#### □ 無負荷勵磁電流及力率

誘導電動機固定子各極に  $\Phi$  なる磁束を生ずる爲には第 91 圖に示す如くこれと同相の勵磁電流  $I_e$  を要する。然るに固定子線輪では抵抗は非常に小でインダクタンスに比し殆ど無視出来るから  $I_e$  及  $\Phi$  は  $I_e$  を生ずる爲の電圧  $E'_1$  より  $90^\circ$  遅れてゐる。 $\Phi$  に依つて固定子捲線に逆起電力  $E_b$

第 91 圖



を誘発し、これは  $E'_1$  と大きさ等しく、位相が相反してゐる。尙鐵心に交番磁束を生ずる爲には鐵損があるから電圧と同相の電流  $I_s$  を要し、無負荷に於ては  $I_e$  と  $I_s$  の合成なる  $I_0$  を供給しなければならぬ。而してその時の力率は固定子捲線の抵抗及リアクタンスを無視すれば  $\cos \theta_0$  となり、固定子回転子間の空隙を通じて必要なる磁束を生ずる爲め  $I_e$  が相當大であるから力率は著しく低い。勿論負荷が増すに従つて有效電流が増すから力率は次第に良くはなるが、勵磁電流が相當大であるから力率は概して低い。これは誘導電動機の大なる缺點である。

#### △ 回転子誘導起電力及電流

回転子が  $s$  なる滑にて回転して居る場合には回転磁界に對する回転子の相對的速度  $n_o - n$  は  $s$  に比例し、回転子に誘發される起電力の周波数  $f'$  は

$$f' = sf \quad (4)$$

である。今静止の際回転子捲線に誘起される起電力を  $E'_2$  とすれば速度  $n$  の時の誘起電力  $E'_2$  は

$$E'_2 = M f' \Phi$$

$$= Msf\Phi$$

$$= sE_2 \quad (5)$$

となり、これに依つて回転子捲線に電流  $I_2$  が流れる。但し上式中  $M$  は定數である。回転子捲線（星形結線）一相の抵抗及リアクタンスを夫々  $r_2$  及  $x'_2$  とすれば

$$I_2 = \frac{sE_2}{\sqrt{r_2^2 + x'^2_2}}$$

である。回転子一相のインダクタンスを  $L$ 、静止の時のリアクタンスを  $x_2$  とすれば

$$x'_2 = 2\pi f' L = 2\pi f L \times s = sx_2$$

であるから前式は

$$I_2 = \frac{sE_2}{\sqrt{r_2^2 + (sx_2)^2}} \quad (6)$$

で表はされ、回転子力率は

$$\cos \theta_2 = \frac{r_2}{\sqrt{r_2^2 + (sx_2)^2}} \quad (7)$$

で表はされる。

#### ■ 固定子負荷分力及ベクトル線圖

$I_2$  の起磁力を打ち消して平衡状態を保つ爲に固定子捲線に電源から  $I'_1$  が流れ込む。 $I'_1$  を一次（固定子）の 負荷分力（Load Component）といひ、固定子捲線回数と回転子捲線回数とを夫々  $N_1$  及  $N_2$  とすれば兩者の起磁力が相等しいから

$$I'_1 N_1 = I_2 N_2$$

$$\text{或は } \frac{I'_1}{I_2} = \frac{N_2}{N_1} = \frac{1}{a} \quad (8)$$

である。

而して (5) 式の  $E'_2$  は、

$$E'_2 = K_2 s f N_2 \Phi$$

\*  $a$  は固定子捲線回数と回転子捲線回数とに依つて定る定数である。

§ 83 参照。

にて示され、同様に固定子に誘發する一次起電力  $E'_1$  は、

$$E'_1 = K_1 f N_1 \Phi$$

であつて  $E'_2$  とは其の方向相反する。而して  $K_1$  は略  $K_2$  に等しいから

$$\frac{E'_1}{E'_2} = \frac{N_1}{sN_2} \text{ 或は } E'_1 = \frac{s}{s} E'_2 \dots\dots\dots(9)$$

是等の關係から誘導電動機のベクトル線圖を畫けば第 92 圖の如くなる。電動

機固定子電流は前記  $I'_1$  と  $I_{oo}$

とのベクトル和なる  $I_1$  であ

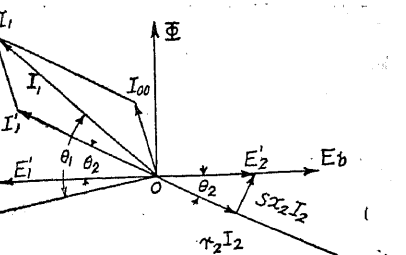
つて、固定子端子電壓  $E_1$  は前

記  $E'_1$  と  $I_1$  に對する固定子抵

抗電壓降下  $r_1 I_1$  及リアクタン

ス電壓降下  $x_1 I_1$  とのベクト

ル和である。従つて電動機力率



第 92 圖

は  $\cos \theta_1$ 、一相の入力は  $E_1 I_1 \cos \theta_1$  であるから三相誘導電動機の入力は

$$W_1 = 3 E_1 I_1 \cos \theta_1 \text{ ワット} \dots\dots\dots(10)$$

である。

### 木 回転子の電氣的能率

第 92 圖のベクトル線圖より判る様に 固定子一相の出力即回転子一相の入力は、

$$W'_r = E'_1 I'_1 \cos \theta_2$$

然るに

$$I'_1 = \frac{1}{s} I_2, \quad E'_1 = sE_2$$

であるから

$$W'_r = E_2 I_2 \cos \theta_2$$

である。回転子の周波數は  $s f$  で運轉狀態では  $s$  は小であるから回転子鐵損を無視し得るものとすれば、回転子一相の出力は  $W'_r$  から抵抗損を差引いたもので次の如くなる。

即ち

$$W'_2 = W'_r - I_2^2 r_2$$

然るに

$$I_2 r_2 = sE_2 \cos \theta_2$$

故に

$$W'_2 = E_2 I_2 \cos \theta_2 - sE_2 I_2 \cos \theta_2$$

故に

$$\frac{W'_2}{W_r} = 1 - s \dots\dots\dots(11)$$

實際の能率はこれから回転子鐵損及機械的損失を差引かなければならぬが、大體はこれによつて知ることが出来る。この式に依つて能率は滑が大なる程悪くなることが判る。

### ヘ 回転力

三相誘導電動機の回転力は其の出力と回転子速度とから求めることが出来る。

即ち

$$W_2 = 3(1-s)E_2 I_2 \cos \theta_2$$

$$= 3(1-s)E_2 \times \frac{sE_2}{\sqrt{r_2^2 + (sx_2)^2}} \times \frac{r_2}{\sqrt{r_2^2 + (sx_2)^2}}$$

$$= \frac{3(1-s)E_2^2 \frac{r_2}{s}}{\left(\frac{r_2}{s}\right)^2 + x_2^2}$$

$$n = (1-s)n_o$$

$$\text{であるから } T = K' \frac{W_2}{n} = \frac{3K'}{n_o} \frac{E_2^2 \frac{r_2}{s}}{\left(\frac{r_2}{s}\right)^2 + x_2^2} = KE_2^2 \frac{\frac{r_2}{s}}{\left(\frac{r_2}{s}\right)^2 + x_2^2}$$

$E_2$  は略  $E_1$  に比例するから

$$T = KE^2 \frac{\frac{r_2}{s}}{\left(\frac{r_2}{s}\right)^2 + x_2^2} \dots\dots\dots(12)$$

にてあたへられる。但し  $K$  は定數である。

(12) 式にて  $s = 1$  とおけば靜止狀態の回転力即ち起動回転力を表はす式が得られる。

$$T = KE_1^2 \frac{\frac{r_2}{s}}{\left(\frac{r_2}{s}\right)^2 + x_2^2} \dots\dots\dots(13)$$

上式中  $\frac{r^2}{r_2^2 + x_2^2}$  は  $r_2 = x_2$  の時が最大となる。通常運転中の能率をよくする爲に  $r_2$  は出来るだけ小としてあるが起動回転力を最大とする爲には特に抵抗を挿入して  $r_2 = x_2$  なる関係とする。第 98 圖は誘導電動機の回転力と滑との関係の一例を示したものであつて、起動回転力を最大とするには III 曲線即ち  $r_2 = x_2$  とした場合が最もよいことが判る。但し速度が上るに従つてこの曲線の回転力は次第に下つて行くから順次に  $r_2$  を減じて行かなければならぬ。

第 93 頁

(12) 式の最大回転力は

の時に起り、その時の廻轉力は

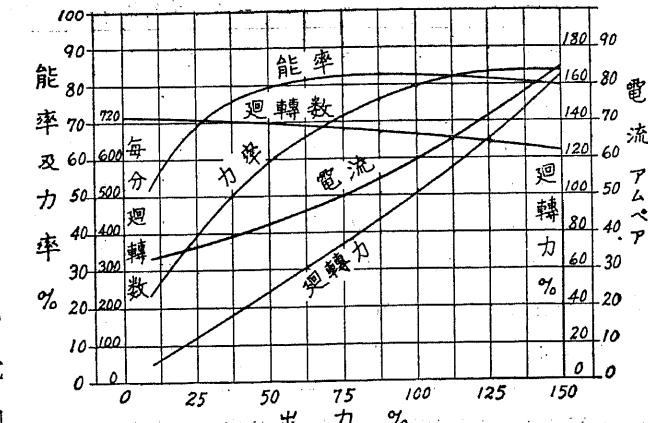
である。運轉状態にては  $r_2$  が最小即ち第 93 圖の  $I$  曲線にて運轉して居るから電動機にこれ以上の荷をかけると速度は下り、速度が下れば益々回転力は減ずるから遂に停止してしまう。故に  $T_m$  を 停動回転力(Stalling Torque) といふ。停動回転力は通常全負荷回転力の約二倍位である。回転力一滑曲線の中で停動回転力の點より左側に於ては動作が不安定であるから右側即ち  $0.4$  間にて負荷に應じた滑にて運轉する。

端子電圧  $E_t$  は通常一定であるから回転力は一定であるが、起動時などの如く特に電圧を下げる場合には回転力は一次電圧の自乘に比例して變る。

下負荷特性曲線

実際に誘導電動機を取扱ふ場合には、電動機出力を横軸にとり縦軸に固定子電流、力率、回転力、能率及滑り又は回転數等の變化を示す曲線を使用し、これを負荷特性曲線といふ。100

ふ。第94圖は  
50 サイクル、  
200 ヴオルト用  
捲線型 20 馬力  
電動機の特性曲  
線を示したもの  
である。此の電



第 94 圖

米となつてゐる。

第9表及第10表は我國に於ける三相誘導電動機の標準型及それ等の特性の大體を示したものである。

第 9 表 小型三相誘導電動機 (電壓 200 ヴオルト)

定格 出力 kW	極 数	同期迴轉數 每分		迴轉子	起動裝置	全負荷特性			無負荷 電流 アムペア (各相平均)	最大起動 電流 アムペア 全負荷の 百分率
		50 サイクル	60 サイクル			滑%	能率%	力率%		
		サイクル	サイクル							
0.5	4	1500	1800	籠型	ナ シ	8	75.0	79.5	1.2	600
1.0	"	"	"	"	"	7	79.0	82.5	2.0	"
2.0	"	"	"	"	"	6	82.0	84.5	3.4	"
3.0	"	"	"	"	"	5.5	83.5	85.5	5.0	"
5.0	"	"	"	"	星形—三角電機換器	5	84.5	86.5	7.7	300
7.5	"	"	"	"	"	5	85.0	87.0	10.5	"
10	"	"	"	"	"	5.5	87.0	13.5	"	"
10	6	1000	1200	捲線型	起動抵抗器	"	85.0	86.0	14.0	150
15	"	"	"	"	"	"	86.0	87.0	20.0	"
20	"	"	"	"	"	"	86.5	87.0	27.0	"
25	"	"	"	"	"	"	87.0	87.5	32.0	"
30	"	"	"	"	"	"	87.5	88.0	38.0	"
30	8	750	900	"	"	"	87.0	87.0	39.0	"
40	"	"	"	"	"	"	87.5	87.5	51.0	125
50	"	"	"	"	"	"	87.5	87.5	64.0	"

第 10 表 低速度小型三相誘導電動機

定格出力 kW	極數	同期回轉数(毎分)	
		50 サイクル	60 サイクル
5	6	1000	1200
7.5	"	"	"
10.0	8	750	900
15.0	"	"	"
20.0	"	"	"
25.0	"	"	"
30.0	10	600	720
40.0	"	"	"

其他、大型三相誘導電動機、短時間定格三相誘導電動機等の標準に關しては卷末の諸表を參照されたい。

### § 72 三相誘導電動機の起動法

三相誘導電動機の起動回轉力は § 71 へに述べた如く

$$T_{st} = KE^2 \frac{r_2}{r_2^2 + x_2^2} \quad \dots \dots \dots \quad (1)$$

で、固定子供給電壓の二乗に比例し、供給電壓を一定とし迴轉子抵抗を變化し得るものとすれば迴轉子一相の抵抗がそのリアクタンスに等しい場合に最大となる。

起動電流は § 71 の (6) 式に於て  $s = 1$  としたる

$$I_{2st} = \frac{E_2}{\sqrt{r_2^2 + x_2^2}} \quad \dots \dots \dots \quad (2)$$

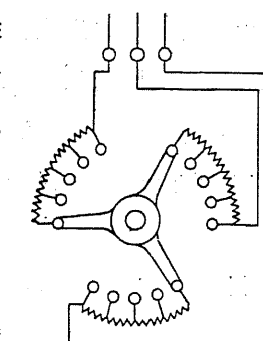
に従つて變り、全電壓を加へた場合には全負荷電流の數倍に上る。小容量の電動機では機械の設計にも幾分か餘裕があり、又斯様な起動電流が配電線路に及ぼす影響も輕いからよいが、容量の大なる電動機では起動電流を制限する爲に適當な方法を講じなければならぬ。

### 1 捲線型電動機の起動法

捲線型電動機に於ては迴轉子捲線に直列に抵抗を挿入すれば (2) 式に示す如く迴轉子起動電流を減少し、從つて一次の負荷分力  $I_1'$  を減ずるから電動機起動電流の減ずることは明かである。尙 (1) 式の示す通り起動回轉力を増すといふ二重の利益があるから、捲線型電動機では常に第 95 圖の如き三相式起動用抵抗器を用ひ、起動の際は全抵抗を入れ速度が上るに従つて抵抗を順次に減少し最後に抵抗を全部短絡する。通常電動機迴轉子には滑動環を短絡する横桿が附屬してゐて、之によつて抵抗を完全に短絡する。

#### 口 節型電動機の起動

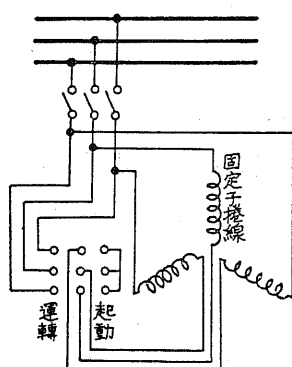
節型電動機に於ては迴轉子抵抗を變化することは出來ないから迴轉力一滑曲線は第 93 圖 I 以外に變化することが出來ず、從つて起動回轉力は全電壓を加えた場合でも全負荷回轉力以下である。且つ全電壓にて起動しては起動電流が過大となるから、起動電流を制限する爲には次の様な方法を講ずるのであつて、その爲に起動回轉力は尙一層減少することになる。故に節型電動機の起動は無負荷又は輕負荷でこれを行ふのである。



第 95 圖

#### (1) 星形一三角起動法

固定子捲線を星形結線、三角結線の兩者に切り替え得る如くし、起動の際は星形とし速度が上つてから三角結線に切り替える方法であつて、比較的小容量の電動機に使用される。運轉状態の際一相に加はる電壓を  $\frac{1}{\sqrt{3}}$  とすれば起動の際は  $\frac{1}{\sqrt{3}}$  即 0.58 となる。第 96 圖は本起動法の接続圖を示す。



第 96 圖

## (2) 起動補償器

§ 68 (1) に於て述べた様に起動補償器に依つて電圧を下げる起動する方法であつて、容量の大なる電動機に使用される。

## § 73 三相誘導電動機の速度制御

三相誘導電動機は直流分捲電動機に類似し、不變速度電動機に屬すべきものであつて、無負荷より全負荷までの速度變化は數 % に過ぎない。而して速度を變へるには次の如き方法がある。

## 1 回転子に抵抗を挿入する方法

第 93 圖より明かなる如く、回転子抵抗を増加すれば同一回転力に対する滑が増すから捲線型回転子を用ひ、その抵抗を加減して速度を調整することが出来る。併し滑を増すことは § 71 (11) 式の示す如く回転子の電氣的能率を低下することであるから絶えず速度を調節する必要のある場合には適當でない。抵抗器の接續は第 95 圖の起動用抵抗器と同一であるが、速度制御にも用ゐる場合には長時間使用に耐へ得る様に太い抵抗線を用ふる。起重機用電動機には此の方法が廣く用ゐられて居る。

## 2 極数を変化する方法\*

三相誘導電動機の同期速度は § 71 (1) 式に示す如く周波數に比例し、極数を逆比例する。故に捲線の接續を適當に變更して極数を變へれば能率を下げないで速度を変化することが出来る。併し極数の変化は通常二段乃至三段に限られるから細かな速度調節には矢張りの方法を併用せねばならない。

## ハ 縦積法 (Cascade Connection or Concatenation)

第 97 圖に示す如く二個の捲線型三相誘導電動機 A 及 B の回転子軸を共通とし、A の固定子捲線を電源に接続し、その回転子捲線を滑動環を経て B の固定子捲線に接続し、B 機の回転子捲線を起動抵抗器 R に結べば電動機は宛も一個

\* 又はハの速度制御法を用ひた電動機を多速度電動機 (Multi-Speed Motor) と云ふ。

の誘導電動機と同様に運轉を爲すこと

が出来る。斯様な接續を誘導電動機の

縦積結合法と云ふ。而して斯様な電動

機の同期速度は A 機の極数を  $P_A$ , B

機の極数を  $P_B$  とすれば

$$n_o = \frac{2f \times 60}{P_A + P_B}$$

であつて、A, B 両機の機械の同期速度よりも低くなる。特別の場合として

$P_A = P_B$  とすれば

$$n_o = \frac{2f \times 60}{2P_A} = \frac{2f \times 60}{2P_B}$$

となつて、A 機又は B 機の同期速度の半分となる。縦積法も亦經濟的な速度制御法であるが細かな調節には矢張りの方法を併用しなければならない。

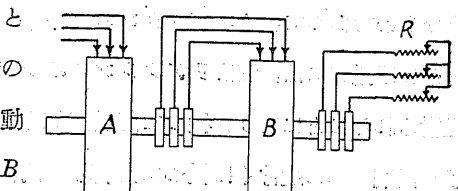
以上の外電源周波數を變へて速度を變ふることも出来るが、この方法は電源が専用の場合でなければ應用し得ない。

## § 74 三相誘導電動機の改良型

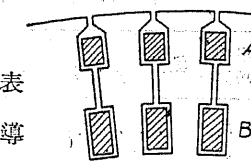
三相誘導電動機、特に籠型三相誘導電動機は構造が簡単で價格も廉く、取扱も容易であるから廣く普及して居るが、§ 72 に述べた如く力率の悪いこと、起動電流の大なる割合に起動回転力が小であること、速度制御が困難であること等の缺點がある。斯様な缺點を補ふ爲に色々な方法が考案されて居るが、紙面が許さないから茲には起動回転力特性の改良方法たる二重籠型誘導電動機 (Double Squirrel-Cage Induction Motor) 及誘導電動機の力率を改良したる誘導同期電動機 (Synchronous Induction Motor) の二種のみに就て説明することにする。

## 1 二重籠型誘導電動機

此の電動機の回転子は第 98 圖に示す如く回転子表面及内部の二段に溝を有し、外周の溝には高抵抗の導體を入れ、内部の溝には普通の如く低抵抗の導體を納



第 97 圖



第 98 圖

めたものであつて、インダクタンスは外部の導體が内部の導體より小である。故に起動時には電流はリアクタンスの少い表面導體に多く流れ、それに依つて起動されることになり、従つて起動回転力は大で、起動電流は割合に少い。回転子が同期速度に近付くに従つて回転子の周波数は著しく小となり、リアクタンスが小さくなるから電流は主として抵抗の少い内部導體に流れ、それに依つて運轉され普通の籠型誘導電動機と同様に能率が良い。結局起動時には捲線型の長所をとり運轉中は籠型の利點を發揮する電動機であつて、第 99 圖は 50 馬力二重籠型電動機の特性曲線を示したものである。

#### 口 誘導同期電動機

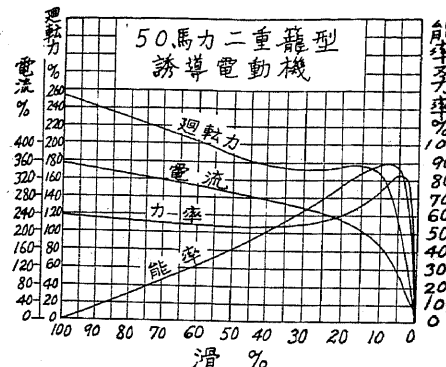
誘導同期電動機とは捲線型誘導電動機が同期近くに回転して居る時に回転子捲線に直流を送つて同期化させ、誘導電動機を同期電動機とするものであつて、誘導電動機として起動が容易なこと及運轉中は同期電動機として力率が高く、能率もよいといふ利益がある。

此の電動機では回転子に勵磁用發電子捲線を有し、別に勵磁電源を要しない様に作られたものがある。

第 11 表は誘導同期電動機の標準型及その特性の大略を示すものである。

第 11 表 低壓 50 及 60 サイクル誘導同期電動機

出力 馬力	極數	全負荷能 率 %	全負荷力 率 % (進)	起動電流 %	起動回轉 力 %	破調回轉 力 %	停動回轉 力 %	起動装置
5	4	83.5	98	200	100	140	200	抵抗器
7.5	"	84.5	"	"	"	"	"	"



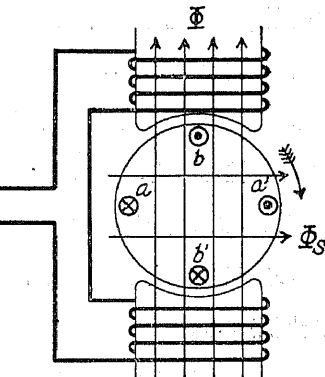
第 99 圖

10	6	84.5	98	175	100	140	200	抵抗器
15	"	85.5	"	"	"	"	220	"
20	"	86.0	"	"	"	"	"	"
25	"	86.5	"	"	"	"	"	"
30	"	87.0	"	"	"	"	"	"
35	"	87.5	"	"	"	"	"	"
50	8	88.0	"	"	"	"	"	"
75	"	89.0	"	"	"	"	"	"

#### 第四節 單相誘導電動機

##### § 75 單相誘導電動機の原理及構造

單相誘導電動機とは一次即ち固定子に單相捲線を有し、單相交流にて運轉される誘導電動機であつて、二次即ち回転子は多くは籠型である。第 100 圖は其原理を示す圖面であつて、回転子を靜止せる儘にて固定子捲線に單相交流を流せば界磁には交番磁場が起り、籠型捲線には變壓器作用(§ 83) に依つて電圧、従つて電流が誘起され、その大きさは  $aa'$  の位置に於て最大であつて、これを離れるほど小となり、 $bb'$  の位置にて零となる。磁束  $\Phi$  が圖の如き方向に増加する間は  $aa'$  の電流の方向は圖に示す如くであつて、磁場と電流との關係から此の場合には回転力を生じないことが判る。



第 100 圖

次に、回転子を或る方法で右廻り(又は左廻り)に廻せば、直流發電機と同理に依つて磁極下に在る導體に電暈、従つて電流を發生し、その方向は磁場の方向が圖に

の如き場合には  $b'$  にて示される如くである。斯く廻轉に依つて生ずる起電力を速度起電力 (Speed E. M. F.) と云ひ、之に對して變壓器作用に依つて生ずる起電力を變成起電力 (Transformer E. M. F.) といふ。速度起電力は磁束  $\Phi$  が最大の時に最大であつて、即ち  $\Phi$  と同位相にある。廻轉子導體の抵抗はそのリアクタンスに比して無視し得る程度であるから速度起電力  $E_s$  に依る電流  $I_s$  は  $E_s$  より  $90^\circ$  おくれ、これに依つて磁界  $\Phi_s$  を磁極軸と直角の方向に生ずる。故に  $\Phi_s$  は  $\Phi$  より時間的に  $90^\circ$  おくれ、空間的にも  $90^\circ$  位相が異なる。斯く時間及空間に於て  $90^\circ$  の位相の差を有する二組の交番磁束は一つの廻轉磁界を構成し、廻轉子はこれに引ずられて廻轉し、誘導電動機として働くのである。其の廻轉方向は圖の如く最初廻した方向である。

#### § 76 單相誘導電動機の起動法

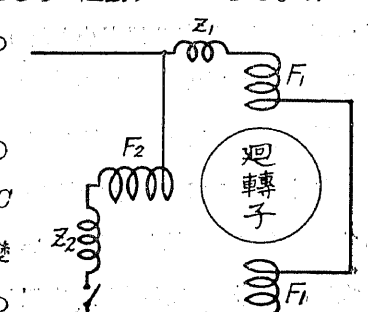
前項の説明に依つて判る様に單相誘導電動機は静止して居る時はこれに電流を供給しても起動力がないが、いづれか一方廻してやると其の方向に廻轉力を生じて電動機となる。故に單相誘導電動機には必ず起動装置を備ふる必要がある。

##### イ 分相起動法 (Split-Phase Starting)

分相起動法を行ふには固定子捲線を一はリアクタンスの大なる、他は抵抗の大なる二相捲線とし、單相交流をこれ等の兩回路に分ち、位相の異つた電流を二相捲線に流し、兩者の合成に依つて廻轉磁界を生ぜしめて起動するのである。第101圖はその原理を示したもので、起動後は一方の捲線を開路する。

##### ロ 隈取線輪起動法 (Shading Coil Starting)

第102圖に示す如く主極の一端に短絡銅環  $C$  を置き極片を  $A, B$  の二部に分てば  $C$  環に變壓器作用に依つて電流を誘導して  $180^\circ$  位相の遅れた磁束を生じ、其の作用は  $B$  極を通る磁



第 101 圖

#### 第四節 單相誘導電動機

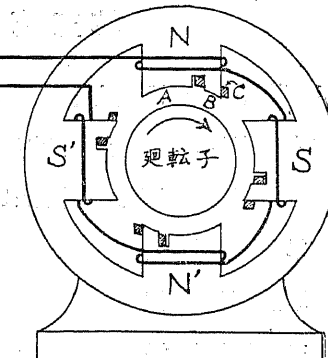
束の變化を遅らせる如くに働く。其の結果

$B$  極の磁束は常に  $A$  極の磁束より位相が遅れ、 $A$  より  $B$  に移る移動磁界を生じて廻轉子を圖の如き方向に起動せしめる。

以上二種の方法は構造が簡単であるが起動廻轉力は弱いから扇風器の如く起動負荷の少いものに用ゐられる。

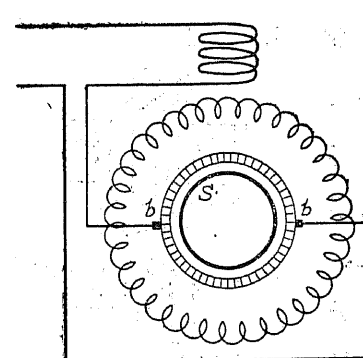
##### ハ 整流子起動法 (Commutator Starting)

單相誘導電動機の廻轉子として直流電動

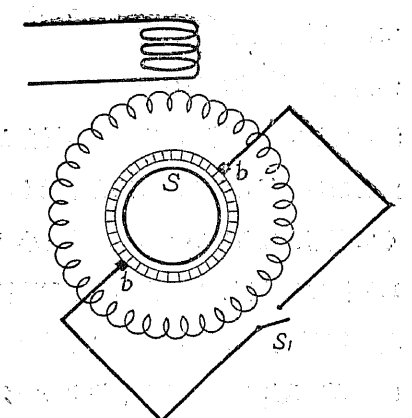


第 102 圖

機電動子を用ひ、これを第103圖の如く固定子捲線と直列に結べば、單相直捲電動機 (§ 78) として起動する。速度が上つた後に銅環  $S$  にて整流子を短絡すれば直流電動子は多相捲廻轉子となつて單相誘導電動機として運転する。其他第104圖の如く反捲電動機 (§ 79) として起動する方法もある。前者は刷子  $b_1$  と固定子との結び方により、又後者では刷子  $b_1$  を右廻り又は左廻りに移すことによつて右廻り又は左廻りに出来る。是等の起動法は容量が相當に大にて、且つ起動時に大なる廻轉力を要する場合に使用される。



第 103 圖



第 104 圖

## 第五節 整流子電動機

### § 77 整流子電動機の種類

交流電動機にて整流子を有するものを交流整流子電動機 (A. C. Commutator Motor) 或は單に整流子電動機といひ、種類が多いが主要なるものは

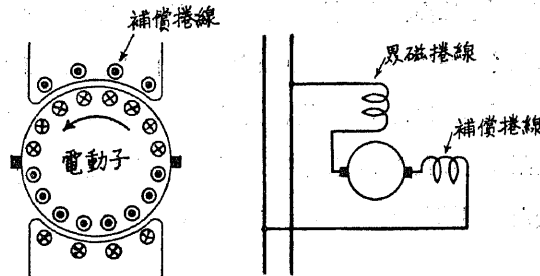
- 單相直捲電動機
- 單相反撲電動機
- 三相直捲電動機
- 三相分捲電動機

であつて、以下これ等につき簡単に説明する。

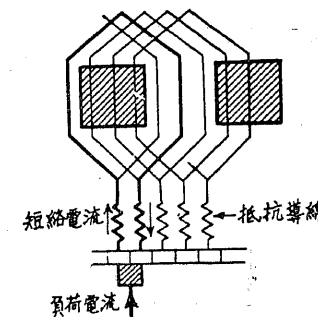
### § 78 單相直捲電動機 (Single-Phase Series Motor)

#### 1 原理及構造

單相直捲電動機の最も簡単なるものは直流直捲電動機の界磁鐵心を成層鐵心に代へたものであつて、界磁及電動子の電流が同時に變化するから交流を通じても迴轉方向は直流の場合と同様に一定となる。但し此の儘では力率低く、整流も悪くて實用にならないから、空隙を小とし又第105圖に示す様に磁極表面に補償捲線を付し、其他第106圖に示す様に抵抗導線を各捲線素子に直列に入れる等の改良を施すのである。猶此等の影響は周波数が小なる程輕いから大規模



第 105 圖



第 106 圖

### 第五節 整流子電動機

に此の電動機を使用する所では  $16\frac{2}{3}$ 、又は 25 サイクルの低周波交流を使用する。

#### □ 特性及び用途

單相直捲電動機の特性は第107圖に示す如く直捲特性である。従つて電氣鐵道用に適するので歐米にて於ては相當廣く使用されてゐる。直捲電動機に比して製作が困難なるにも拘らず單相交流の使用される理由は、變壓器の助けを借りて

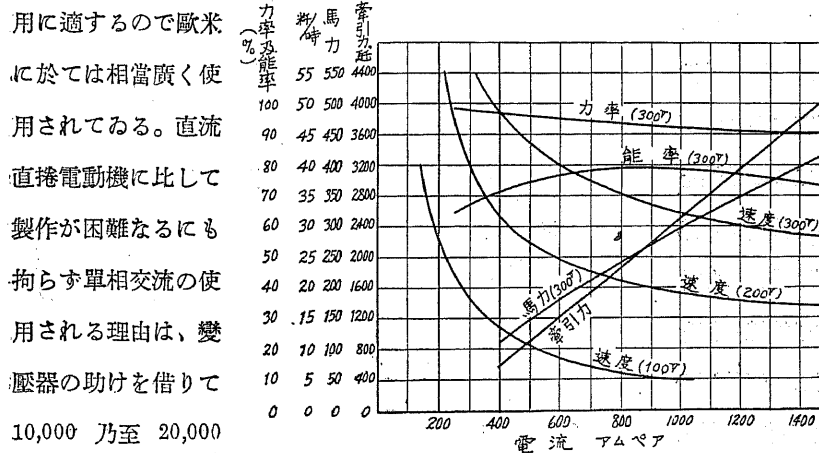
ヴオルトといふ高壓

にて經濟的に電力を供給することが出来るからである。

### § 79 單相反撲電動機 (Single-Phase Repulsion Motor)

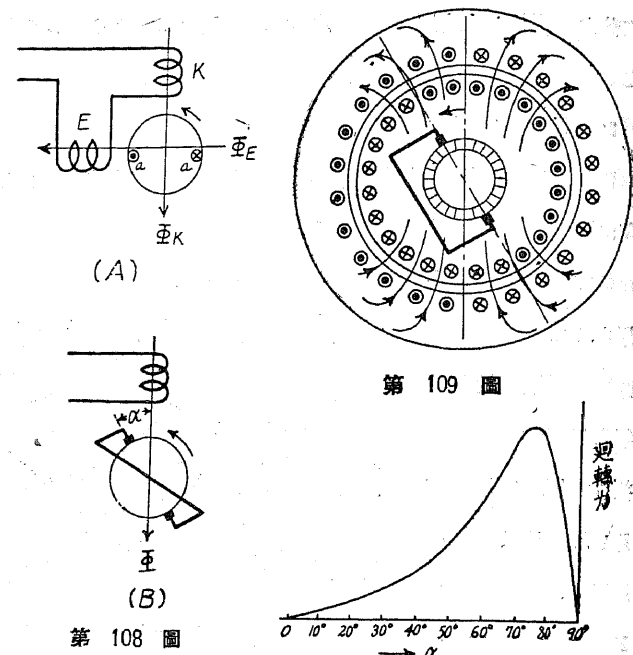
第108圖(A)の如く互に  $90^\circ$  位置を異にする二つの勵磁捲線  $K$  及  $E$  を備え、二極機の直流電動子刷子を  $K$  磁極軸上に置いて短絡し、勵磁捲線に單相交流を流した場合を考へると、 $K$  捲線からの變成作用に依つて迴轉子捲線に誘導する電圧は單相誘導電動機の原理にて説明したと同様に圖の  $a'$  附近の導體にて最大であつて、これに依つて是等導體内には  $\Phi_K$  より  $18^\circ$  おくれた電流即ち圖に示す如き方向の電流を生ずる。然るに是等の導體は  $E$  磁極の下にあるから  $\Phi_E$  との間に迴轉力を生じ圖の方向に迴轉する。即ち  $E$  極は迴轉力を起す爲

\* 107 圖に於ては速度を機關車每時糠にて表し、迴轉力は機關車動輪縁に於ける牽引力(磅)にて示してある。



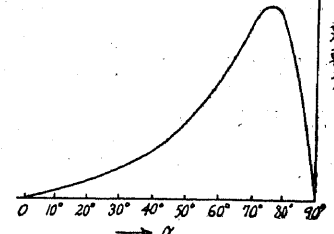
第 107 圖

の磁束を生じ、 $K$  極は變成作用に依つて迴轉子に電流を生ぜしむることになるのであつてこれが反撥電動機の原理である。 $K$ 、 $E$  の二つの捲線を用ゐる代りに、第 108 圖(B)の如く固定子捲線一個を使用し、短絡刷子の位置を磁極軸に



第 108 圖

第 109 圖



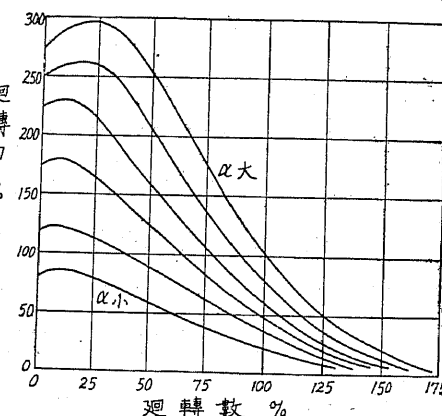
第 110 圖

對して或る角度  $\alpha$  だけ傾ければ、 $\Phi$  の中にて刷子軸と同方向の分力は前記  $K$  捲線の作用を爲し、直角分力は  $E$  の作用を爲すから迴轉子は矢張圖の如くに迴轉する。實際の反撥電動機では直角分力を有効に働く爲に、第 109 圖の如き構造の磁極を使用する。迴轉力は  $\alpha$  の大きさに依つて第 110 圖の如くに變化する。

反撥電動機は直捲特性の電動機であつて、起動迴轉力強く、速度が上るに従つて、迴轉力は減する。第 111 圖は種々の刷子位置

に對する迴轉力速度特性を示すものである。

第 111 圖



### § 80 三相直捲電動機 (Three-Phase Series Motor)

三相直捲電動機とは三相誘導電動機と等しき固定子、及び直流電動子と同じ迴轉子を有する電動機で、その最も簡単なものは第 112 圖(A)に示す如く固定子捲線を直接刷子に接続したものである。普通は同圖(B)の如く中間變壓器を通じて固定子捲線に結んであるものである。

である

が、普

通は同

圖(B)

の如く

變壓器

を通し

て迴轉

子に給

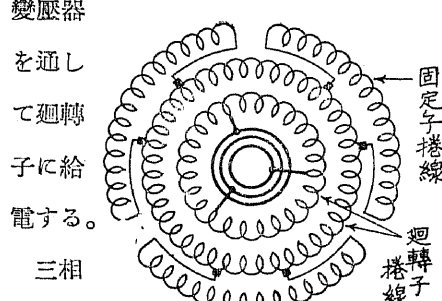
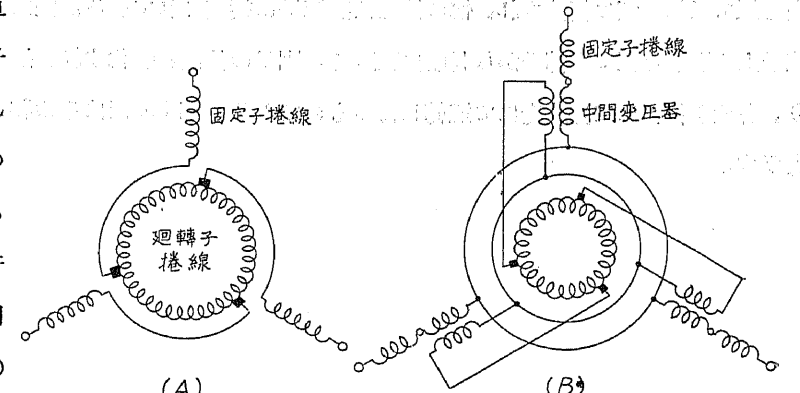
電する。

三相

直捲電

動機は

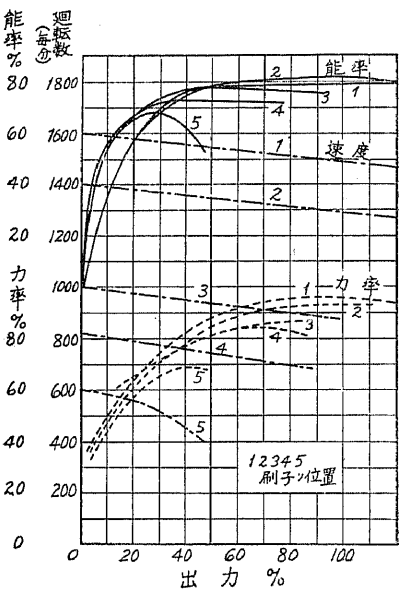
第 112 圖



第 113 圖

刷子の移動に依つて能率を左程犠牲にすることなしに速度を廣く調節することが出來、又大なる起動迴轉力及び高力率を得ることが出来る。

### § 81 三相分捲電動機 (Three-Phase Shunt)



第 114 圖

Motor)

三相分捲整流子電動機の最も著名なものはシューラーグ電動機である。第113圖はその接續を示すものであつて、迴轉子は二重の捲線を有し、一方は三つの滑動環を経て三相電源に接續され、他の捲線は整流子に接續されて居る。固定子は整流子上の刷子を経て迴轉子から勵磁される。刷子の位置を變化すれば速度は變り、各刷子位置にて定速度にて運轉し得るものである。第114圖はその特性曲線を示す。